

ИЗВЕСТИЯ

ТОМСКОГО ОРДЕНА ОКТЯБРЬСКОЙ РЕВОЛЮЦИИ И ОРДЕНА ТРУДОВОГО  
КРАСНОГО ЗНАМЕНИ ПОЛИТЕХНИЧЕСКОГО ИНСТИТУТА ИМ. С. М. КИРОВА

Том 257

1973

КОМБИНИРОВАННЫЙ ФОТОЭЛЕКТРИЧЕСКИЙ СПОСОБ ИЗМЕРЕНИЯ  
КОНЦЕНТРАЦИИ ВЕЩЕСТВ

П.И.Госьков, В.Л.Ивасенко, В.П.Лопатинский,  
В.Т.Новиков, Ю.К.Шелковников

(Представлена научным семинаром органических кафедр  
и лабораторий)

Для определения концентрации различных веществ используются химические и физико-химические методы. Среди последних нашли широкое распространение спектрофотометрия, а также рефрактометрия.

Авторами разработан способ, основанный на применении рефрактометрической кюветы и дифференциального фотоприемника (фотосопротивления или фотоэлемента), с помощью которых обеспечивается суммарное измерение показателя преломления и поглощения света.

На рис. I показана блок-схема установки для реализации предлагаемого способа, на рис. 2 - экспериментальные кривые.

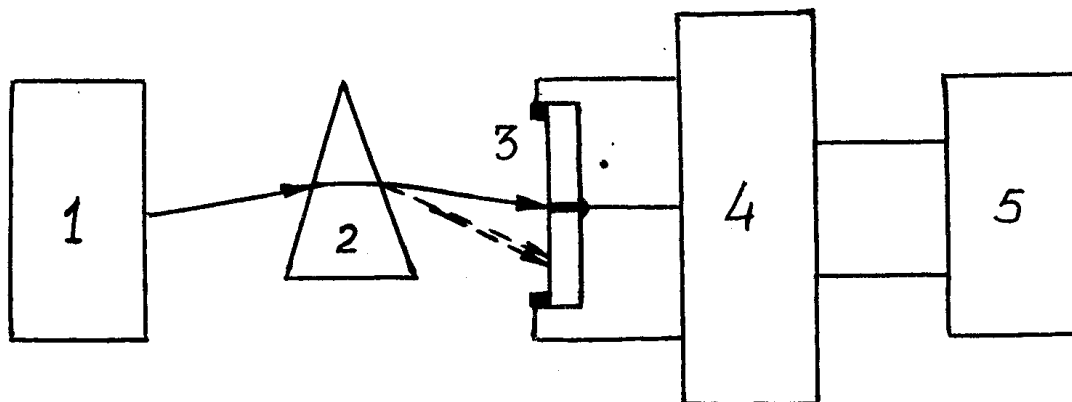


Рис. I. Блок-схема установки для измерения  
концентрации веществ комбинированным  
фотоэлектрическим способом.

Согласно рис. I предлагаемый способ реализуется с помощью источника светового потока 1, рефрактометрической кюветы 2, дифференциального фотоприемника 3, балансной схемы 4, регистрирующего устройства 6.

Осуществляется способ следующим образом. Сначала в кювету 2 помещается эталонное вещество с известной оптической плотностью

$D_{эт}$  и известным коэффициентом преломления  $\bar{N}_{эт}$ . При этом фотоприемник 3 устанавливается с помощью соответствующего механического подстроичного устройства так, чтобы световой поток, прошедший кювету, попал точно на границу между обеими частями фотоприемника и чтобы освещенность их была при этом одинаковой. В этом случае выходной сигнал с балансной схемы 4, к которой подключен фотоприемник 3, будет отсутствовать, т.е. напряжение разбаланса равно нулю.

После этого вместо эталонного в кювету помещается исследуемое вещество, оптическая плотность которого неизвестна, но она меньше  $D_{эт}$ , и не известен коэффициент преломления этого исследуемого вещества  $N$ , но он не равен  $\bar{N}_{эт}$  (либо  $N > \bar{N}_{эт}$ , либо  $N < \bar{N}_{эт}$ ). Так как  $N \neq \bar{N}_{эт}$ , то происходит смещение светового потока относительно середины фотоприемника, причем знак смещения (вверх или вниз) определяется знаком  $\Delta N = \bar{N}_{эт} - N$ .

Поскольку  $D < D_{эт}$ , то одновременно со смещением светового потока происходит увеличение его интенсивности, т.е. в результате этого освещенность одной половины фотоприемника резко уменьшается (в нашем случае - верхней половины, рис. I), а освещенность второй половины значительно возрастает и из-за смещения светового потока, и из-за увеличения его интенсивности. Следовательно, величина появляющегося напряжения разбаланса на выходе 4 будет определяться суммарным изменением обеих характеристик  $N$  и  $D$  относительно  $\bar{N}_{эт}$  и  $D_{эт}$ . При этом знак напряжения разбаланса определяется знаком  $\Delta N$ , а само напряжение разбаланса усиливается и измеряется регистрирующим устройством 5.

Таким образом, за счет суммарного определения  $\Delta N$  и  $\Delta D$  соответствующим образом возрастает выходной сигнал 4 по сравнению с тем случаем, когда используется изменение лишь одной оптической характеристики ( $N$  или  $D$ ). Рис. 2 иллюстрирует это. Здесь, на рис. 2а, приведены зависимости  $\Delta D$  и  $\Delta N$  от концентрации  $CuSO_4$ , измеренные с помощью известных устройств в ИК-спектре, а на рис. 2б приведены зависимости сигнала разбаланса от концентрации при фиксировании либо только  $\Delta D$ , либо только  $\Delta N$ , либо только  $(\Delta N + \Delta D)$ . Эксперимент проводился с одним и тем же дифференциальным фотоприемником типа ФС-К7 в видимой области. При этом для снятия

зависимости  $\Delta R_{разд.} = \Psi(N)$  по  $\Delta D$  использовалась фотометрическая кювета, а световой поток, прошедший через нее, проектировался только на одну половину фотоприемника.

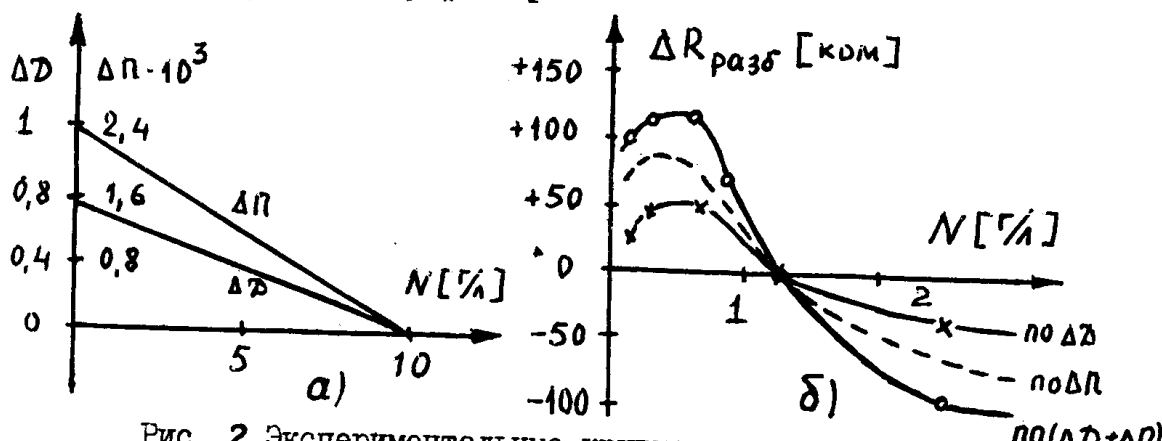


Рис. 2. Экспериментальные кривые

Зависимость  $\Delta R_{разд.} = \Psi(N)$  по  $(\Delta D + \Delta \Pi)$  получена по схеме рис. I, а зависимость  $\Delta R_{разд.} = \Psi(N)$  только по  $\Delta \Pi$ , показанная пунктиром на рис. 2б, получена как разность двух предыдущих зависимостей. При этом длины кювет и расстояние между источниками I и фотоприемником З были одинаковыми в обоих случаях.

Полученные результаты показывают, что чувствительность, разрешающая способность, точность измерений соответствующим образом возрастают при суммарном определении  $(\Delta \Pi + \Delta D)$  по сравнению со случаями, когда фиксируется только одна из указанных характеристик.

В нашем случае, например, наблюдается реальное увеличение чувствительности при фиксации  $(\Delta \Pi + \Delta D)$  в 2,2 раза по сравнению с фиксированием только по  $\Delta D$  и в 1,35 раза по сравнению с фиксированием только по  $\Delta \Pi$ .

Предлагаемый способ особенно перспективен при малых изменениях  $\Delta \Pi$  и  $\Delta D$ , когда фиксация только  $\Delta D$  или  $\Delta \Pi$  затруднена.

Кроме того, предлагаемый способ можно использовать не только для измерения концентраций, а также, например, он очень перспективен для фиксации остаточных изменений в веществах, подвергаемых различным видам электрофизических воздействий, что необходимо при настройке аппаратуры для обработки на оптимальный режим, при выяснении природы указанных воздействий и т.п.

Описанный способ может также найти применение для контроля разделения в колоночной хроматографии с количественной оценкой разделяемых веществ.